

中国机械工程学会十周年年会

圆弧点啮合(诺维柯夫)齿轮传动
专题讨论文集

中国机械工程学会十周年年会秘书处编

· 内 部 发 行 ·

中国工业出版社

中国机械工程学会十周年年会

**圓弧点啮合(諾維柯夫)齒輪傳動
專題討論文集**

中国机械工程学会十周年年会秘书处編

中国工业出版社

圓弧點嚙合(諾維柯夫)齒輪傳動

專題討論文集

中国机械工程学会十周年年会秘书处編

*

机械工业图书编辑部编辑 (北京阜成門外百万庄)

中国工业出版社出版 (北京佟麟閣路丙10号)

(北京市书刊出版事业許可証出字第110号)

机械工业出版社印刷厂印刷

新华书店北京发行所发行·各地新华书店經售

*

开本 787×1092 1/J₆ · 印張 24 · 插頁 1 · 字数 545,000

1962年11月北京第一版 · 1962年11月北京第一次印刷

印数 0,001—2,653 · 定价(10 7)3.35 元

*

统一书号 15165 · 2041(一机-424)

目 录

序 言.....	編者(5
平行軸點嚙合圓柱齒輪傳動的嚙合原理.....	叶显樞(10
關於點嚙合傳動原理的兩個基本問題.....	丁 淳(21
法面圓弧螺旋面符合諾維柯夫嚙合原理.....	蔣洪潮(33
法向圓弧齒輪的基本原理.....	劉 健(49
圓弧齒輪強度問題及計算方法.....	陳貞祥(80
圓弧齒輪弯曲強度計算新方法.....	文百行、丁治亞、胡衡宇(91
圓弧齒輪傳動中的動載荷.....	歐宗瑛(100
關於圓弧圓柱齒輪減速器系列設計方面幾個問題的探討.....	李長春(121
關於圓弧圓柱齒輪減速器系列設計新方案的探討.....	項昌期、時學素、劉爾齊(138
關於圓弧圓柱齒輪通用減速器系列基本參數的選擇與確定.....	溫友淦(150
PM型圓弧齒輪減速器系列設計和試驗報告	黃善鈞(164
關於圓弧齒輪齒形設計的討論.....	朱景梓(172
關於圓弧圓柱齒輪主要傳動參數的探討.....	劉士品等(186
高速圓弧齒輪在萬轉鼓風機上應用的初步總結.....	戴行鈍(198
圓弧齒輪在起重機上應用的設計製造問題.....	張晏勛(205
圓弧齒輪減速器在矿山及重型機械中的生產實踐.....	洛陽矿山机器厂產品設計科(215
圓弧齒輪減速器的試車及其在軋鋼機上工業試用情況.....	洛陽矿山机器厂產品設計科(229
圓弧齒輪減速器承載能力試驗及其在起重機上工業試用情況.....	張晏勛(235
關於灰鑄鐵圓弧齒輪承載能力的試驗報告.....	李得麟(242
圓弧齒輪傳動重合系數對噪音的影響.....	朱景梓、陳建基、沈紹槐(249
圓弧齒輪減速箱潤滑條件的試驗研究.....	朱景梓、陳建基、沈紹槐(253
加工圓弧齒輪用的萬能變位滾刀.....	朱景梓、陳健基、沈紹槐(260
分屑槽圓弧齒輪滾刀的試驗研究.....	鄒宏鈞、文百行(268
關於圓弧圓柱齒輪檢驗方案的探討.....	丁 淳(273

圆弧齿轮若干测量尺寸的计算方法.....	李华敏、张希康(287)
中心距及切深偏差对圆弧齿轮啮合带的影响.....	沈蕴方(308)
圆弧齿形蜗杆传动.....	郭克强(316)
圆弧弧线锥齿轮啮合分析.....	王靖中(327)
圆弧弧线锥齿轮的设计与制造.....	王靖中(336)
圆弧弧线锥齿轮铣刀盘的设计与制造.....	张正中、顾虎生(358)
附录一 中国机械工程学会十周年年会上关于“圆弧点啮合齿轮的应用与发展” 中心议题的讨论记录摘要.....	(366)
附录二 中国机械工程学会十周年年会有关齿轮传动论文文稿目录索引.....	(382)

序 言

· 编者 ·

1961年11月22日到11月30日，中国机械工程学会，在北京举行了十周年年会。在所收到的六百余篇論文中有10%左右是属于齒輪傳動方面的學木報告和研究成果，其中有关圓弧點嚙合齒輪（諾維柯夫齒輪）的約占一半左右，共三十八篇。

在这次年会上，“圓弧點嚙合齒輪（以后，在本論文集中，一律簡称为圓弧齒輪）在我国的应用与发展”被列为中心議題之一。参加討論的正式代表来自十五省、两市和两个自治区共54人（列席不計）。共举行了八次學木報告及討論會，除扼要地介紹和宣讀了十六篇論文外，还根据当前生产中所迫切需要解决的問題，分成四个方面进行了深入的热烈的专题討論，有450人次参加了这些活动。

在专题討論中，代表們介绍了各地圓弧齒輪的試驗和試用情况，肯定了圓弧齒輪的优点，也指出了目前有待于进一步研究解决的問題。

目前，据不完全的統計，国内已生产了各种型式的圓弧齒輪減速器（包括增速箱）約2500台，在軋鋼机、鼓風机、起重机、皮带运输机、卷揚机、球磨机及小型汽輪机等产品中試用的結果，絕大多数是成功的，对于鋼鐵、采礦、电力工业等都有很大貢獻。

試用結果表明：在標準系列漸开線齒輪減速器中，改用圓弧齒輪代替漸开線齒輪后（其它傳動零件作相应加强），可以按中心距提升一級使用。在符合1959年洛阳會議●決議中所規定的条件下，对于中等漸开線齒輪減速器中的漸开線齒輪，改用圓弧齒輪代替后，可以在确保工作安全可靠的前提下，使承载能力增加一倍到一倍半以上。

第一机械工业部正在制訂圓弧齒輪通用系列減速器的标准草案，在1962年内試制、試驗、鉴定以后，就可以在生产中貫彻执行。

这次會議是继1959年天津和洛阳两次圓弧齒輪技术會議以后的一次規模最大的全国性的学术會議，它对我国今后发展圓弧齒輪的理論研究与生产应用将起巨大的推動作用。我們选編了有关的論文三十篇和专题討論記錄，汇印成这个文集，提供从事圓弧齒輪工作的同志們参考与研究。

关于圓弧齒輪强度及設計

(一)

會議討論并分析了关于圓弧齒輪的破坏形式和失效的原因。

除了由于材料缺陷，齒輪結構設計上不合理等特殊原因而使整个齒圈碎裂的情况以外，在实用产品中，其损坏形式的种类大致与漸开線齒輪相同。按出現的次数統計，以齿面发生塑性变形为最普遍，其次为点蝕，个别也出現过胶合（擦伤）和断齿；在球磨机上試用圓弧齒輪作升式傳動时，寿命比漸开線齒輪延长七八倍，但仍旧以磨损过度作为其失效原因。

● 1959年11月20日在洛阳召开了全国圓弧齒輪（諾維柯夫齒輪）技术會議。

塑性变形現象，表現为在齿的啮出端挤出了飞边，較严重的則在齿頂处也出現飞边，最严重的，在齿頂处发生卷边（如同在溫度不适当时齿輪軋制中所出現情况相似），在齿面接触区出現明显的压痕。

这种情况，一般是由于材料未經热处理調质，硬度过低之故。在討論中大家认为，圓弧齿輪的硬度要求應該在可能的条件下适当提高，大齿輪硬度不能低于 $220\sim 240H_B$ ，小齿輪的硬度應該比大齿輪高 $20\sim 40H_B$ 。

产品中，齿面发生点蝕的部位，一般都是在齿頂附近首先出現，而其中尤以大齿輪齿頂处最为常見。

經過討論，大家认为这是由于因循了漸开線齿輪的生产习惯，中心距偏大、切齿深度偏深以致初期接触带偏于凹齿齿頂，或者由于矫枉过正而使接触带偏于凸齿頂部。凡是接触带位置正确，硬度符合要求的就不会出問題。因此认为，装配后的接触檢驗是防止不合格产品出厂的有效措施。但接触檢驗的技术要求除了在齿长方向要求 $80\sim 100\%$ 外，还應該对于接触带在齿高方向的位置有明确的規定。

只有洛阳矿山机器厂的試用工作中出現过严重的胶合破坏。其他单位也曾偶然出現过有胶合的傾向。

會議討論了出現胶合現象的各种可能的原因，为进一步研究提出了方向。

在試用产品中，仅只有一次发生了輪齿折断事故，这是由于安装时，对于軸向窜动量的調整疏忽所致。

在實驗室条件下的齿輪强度試驗工作，过去在国内基本上是空白点，由于經驗不足，因此所得出的数据往往不够稳定，結論也就不很可靠。但就这些試驗結果来看，也就足以說明圓弧齿輪的确具有高承載能力的优点。

在会上有不少同志指出，他們的試驗結果与庫得略夫采夫（В. Н. Кудрявцев）的經驗公式相差很大，按庫氏公式計算的結果过于安全。

同时也指出了，在各种参数中，螺旋角的变化对于圓弧齿輪的承載能力的影响最为显著，在进一步的試驗研究工作中應該作为首要的項目。

許多同志指出，用鑄鐵作为齿輪材料是不适当的，但是，用球墨鑄鐵代替鋼材来制造齿輪还是有其发展前途的。

(二)

关于圓弧齿輪的强度計算方法的研究，在年会上提出了三篇論文。

會議参加者认为，将漸开線齿輪計算方法类似地用于圓弧齿輪的設計工作，只能作为暫时的权宜办法。注意到齿輪的各参数对于圓弧齿輪承載能力的影响有別于漸开線齿輪，所以應該积极地从圓弧齿輪实际失效特点来研究圓弧齿輪的强度計算問題。

在討論中，許多同志认为，接触强度計算方法，最好仍以苏联費加金（Р. В. Федякин）的計算公式为基础，根据試驗数据加以补充和修正。

关于弯曲强度計算方法，文百行在論文中提出应按实际斷口形状出发考虑，这一意見得到了代表們的重視，希望能深入地进一步研究。

在欧宗瑛的論文中，从理論上探討了圓弧齿輪的動載荷計算方法。

陈貞祥的論文，对現有苏联公开发表的一些强度計算方法，进行了总结、分析和简化，对于圆弧齿輪的强度研究提供了不少方便。

由于欧宗瑛和陈貞祥未出席會議，所以会上沒有对他们的論文进行討論。

(三)

會議討論了有关系列圆弧齿輪減速器設計問題，李长春的論文对于第一机械工业部所拟的系列草案作了說明。經過討論大家认为，这个草案基本上反映了国内各单位系列設計的經驗和实际工业試用的成績，是符合我国目前实际情况和技术水平的較为妥当可靠的方案。

会上代表們对于系列設計方案的进一步改进方向提出了不少有价值的意見，并展开了热烈的爭辯。

朱景梓教授提出應該采用較大的重合系数 ε ，建議在可能的条件下取为 $\varepsilon = 1.5$ 左右。刘士品的論文也表示了类似的意見。

另一个爭辯的焦点是模数和中心距的比值 $\frac{m}{A}$ 。在系列标准草案中选用的是 0.02，但項昌期等认为應該取成 0.025，以增强抗弯曲强度，从而可以充分發揮圆弧齿輪的最大潜力。

在討論中，大家认为，增加重合系数固然对于工作平稳性可能有些好处，但是如果为了增加 ε 而增加齿寬則将徒然浪費材料，如果增大螺旋角則对于軸承寿命有显著影响。对于項昌期等所提出的 $\frac{m}{A} = 0.025$ 的方案，大家初步认为在工作利用系数（ГИВ% 值）較低的情况下，可能使承载能力有显著提高。但是該系列方案中，中心距的系列按 R 40 排列，与生产习惯不符，会給生产和使用带来过大的变革和不便。尽管如此，但項昌期等的看法还是有一定价值的，應該进一步試驗研究，以期作出更恰当的判断和正确的結論。

在圆弧齿輪参数选择問題上，不少同志认为目前在高速傳动中采用大重合系数（人字齒輪每邊的重合系数 ε 值大于 2 或 3）的設計是适当的。这样，能使同时参加工作的齿數增多，能使載荷作用位置沿軸向的变动减少，从而对傳动工作平稳性有利。但是必須指出，制造精度必須有相应的提高，否則将不能达到預期的效果，甚至反而不利。

考慮到目前各類产品都正在开始进行定型化工作，圆弧齿輪通用減速器（系列）仅仅是产品中的构件之一，必須与产品配套。因此，希望有关单位加速进行試制、試驗和鑑定工作，把系列作为标准肯定下来，供給有关設計部門选用。

关于啮合理論

年会所收到的論文中涉及啮合理論方面的有十余篇，其中专题論述圆弧齿輪啮合理論的有五篇。在这些論文中，对圆弧齿輪齿面的性质和特征及相对曲率問題进行了比較全面的深入討論。

在苏联諾維柯夫 (М. Л. НОВИКОВ) 的論文中，只一般地提出了点啮合原理，对于实用的齿輪，只提出了端面为圆弧齿形这样一种具体方案。但目前所推广的却是以法向为圆弧齿形的滾刀所加工的圆弧齿輪，这与原来的方案已經不同，應該在啮合理論方面加以补充和发展。会上对于这个問題展开了热烈的爭辯。

用圓弧作為齒形曲線的想法在很早以前就已經有人提出過了，其中著名的有在1922年提出的英國V.B.B.制度的圓弧齒輪，在三十年代也曾經有人做了不少試驗，証實了做成凸、凹齒以後，承載能力可以顯著提高。但由于沒有擺脫線嚙合制的思想束縛，因而對製造誤差的敏感性大，容易折斷，而在生產中沒有得到實際應用。諾維柯夫所提出的圓弧齒輪擺脫了線嚙合制的限制，建立了點嚙合制，且允許端面重合系數等於零，即使在跑合以後也只能為一很有限的數值，因而可以使凸、凹齒的齒形圓弧半徑有一定的差值，從而得到具有在某種實用範圍內已經能滿足需要的中心距可分離性。如果局限於線嚙合制齒輪傳動的嚙合原理範圍之內，是不會找出這條出路的。

點嚙合原理比線嚙合原理具有更大的概括性，線嚙合制從實質上說來可以看作是點嚙合原理中的一个特例。有些同志指出，在一定條件下，點嚙合制的齒輪可以轉化成線嚙合傳動，而線嚙合制的齒輪也可以轉化成特殊的點嚙合傳動。

諾維柯夫在他的論文里早已指出點嚙合制齒輪可以用兩種途徑來建立，一種是以接觸迹線為基礎，一種是以改進了的奧利佛包絡原理為基礎。他認為用前一種方法具有普遍意義，而後者只是其中的特例。

以接觸迹線為基礎，可以按實用觀點先規定出瞬時嚙合點運動軌跡，然後可以在通過接觸迹線的許多曲面中自由地選擇最簡單而性能又最好的作為共軛齒面，只要它們的幾何特性滿足規定的三個條件。

用經典的包絡原理所得出的是線嚙合制齒輪，如果作某些修改也能得出點嚙合制的齒輪；給定兩個（而不是一個）有一定關係的輔助的曲面（例如用兩個相切的基本齒條），用它們分別包絡出的兩個輪齒曲面彼此可以正確嚙合傳動。

以接觸迹線為基礎來建立點嚙合制齒輪，有利於探求在各方面更為有利的曲面作為齒面；以包絡原理為基礎建立點嚙合制齒輪的方法則比較適應於目前的工藝條件（例如滾齒、磨齒等），易於建立明確的工藝嚙合關係，對於刀具的設計較為方便。

也有同志對於“以接觸迹線為基礎，容易從工程的實用觀點來選擇共軛曲面”的看法，表示不能完全贊同。例如，對於圓弧曲線錐齒輪來說，如果用接觸迹線出發來分析齒面的特性，就遠遠不如預先規定銑刀盤運動輔助曲面，用包絡原理進行分析來得方便，在研究共軛曲面的曲率干涉問題上也增加了不少困難。但也有同志指出在尋求圓弧齒輪剃齒刀齒形曲線問題上，也許還是要從接觸迹線為基礎出發比較適當。

最後，大家覺得兩種方法各有其特色與發展前途，研究時應同時並重。

至於圓弧齒輪之所以具有很高的承載能力（指接觸強度）的原因，大家都一致認為是由於所選擇的齒形是一凸一凹，彼此相配齒面相對曲率很小（即相對曲率半徑很大）所致。但有的同志認為現有圓弧齒輪在跑合之前，齒面間的相對曲率已經比漸升線齒輪小得多，並已具有強度高的性能；而跑合以後，相對曲率更進一步減小，圓弧齒輪的接觸強度則更顯著地提高了。也還有同志持有這樣的觀點：在跑合以後，圓弧齒輪實際上已經轉化成線嚙合，只是瞬時接觸線不像漸升線那樣沿齒寬方向分布，而是沿着齒高方向分布，即圓弧齒輪的最大優點要在轉化成線嚙合傳動以後才能充分發揮。這樣，就可以看成在理論上以線嚙合制為基礎，只是為了補償製造與安裝中的誤差，才不得不使齒形半徑有一個差值。這種提法，更能反映圓弧齒輪承載能力提高的原因。同時，還可以使齒輪的嚙合原理

和加工工艺的理論用一致的概念来描述，既方便而且更易于为人们所理解。

但是主張圓弧齒輪仍舊應該以點嚙合理論为基础的同志表示不能接受这种觀点。他們指出，就加工工艺而論，現有的加工方法中最常用的滾齒、插齒、刨齒和磨齒，固然是以包絡為其工作原理的，但也有用片銑刀和指狀銑刀來加工大模數圓弧齒輪的，如果要以圓弧原始齒條作為圓弧齒輪的理論基础，則這些刀具的齒形就会變得相當複雜，而實踐却表明只須做成簡單的圓弧形就可以了；又如对于插制的圓弧齒輪能否与滾齒的圓弧齒輪配对（或者其他两种不同加工方法所得的齒輪），這也不是綫嚙合制所能完滿地答复的。因此从工艺上来看，也还是應該把圓弧齒輪的嚙合理論建立在點嚙合制的基础上。

討論进行得非常热烈，澄清了某些觀点，例如不能把理論上的點接触、綫接触与物理意义上齒面受到載荷变形以后的局部面接触混为一談。通过爭辯双方的論点都 摆了出来，虽然最后意見还不能統一，但大家都感到收获很大，有助于进一步深入开展研究工作。

关于計量和檢驗

关于圓弧齒輪計量和檢驗方面的論文共五篇。这些論文反映了圓弧齒輪进入成批生产后对于計量工作所提出的要求，初步探討了各种誤差的起因和它們对于傳动质量的影响。

經過討論补充后，大家同意推荐試用丁淳在論文中所提出的檢驗方案，圓弧齒輪的測量項目規定为：（1）公法綫尺寸、齒根圓尺寸、齒深；（2）相邻周節最大差数、周節积累誤差、齒圈跳动量；（3）軸向齒距偏差、齒向偏差（導程偏差）、齒面波度等九項，另外将齒厚列为公法綫尺寸的代替項目，用于大模數及大直徑齒輪。應該在前三項中選擇一項或兩項作为生产檢驗項目，其他項目用于定期檢驗。

會議对于上海量具刃具厂試制并經過实际使用成功的四种圓弧齒輪量具，表示滿意。认为这些量具，对于巩固和提高圓弧齒輪的制造质量是个有力的保証，希望他們列為正規产品供应各有关单位。

測量尺寸的計算方法，在劉健、李華敏與張希康等的論文中从不同的觀点得出了相同的結果，會議建議加以綜合和簡化，提出推荐的計算卡片。并希望能进一步将有关的測量尺寸編成手冊，供生产单位查用。

會議討論了圓弧齒輪对于切齒深度和中心距偏差的敏感性問題，认为这一問題与原始齒廓参数的选择有关（主要因素是两齒廓的半徑差 Δr 的大小），有人主張对于低精度等級的圓弧齒輪規定不同的原始齒廓，将 Δr 增加为 $0.2m$ 。在丁淳、張希康和沈蘊方等的論文中，提出用改变切齒深度的办法来补偿中心距偏差，就可以允許齒輪箱中心距有正偏差。这个研究結論是正确的。这样，机械工业通用标准机标（JB）179-60的圓柱漸开綫齒輪傳动公差标准中，对于中心距規定的公差数值，也可以适用于圓弧齒輪傳動。因此，大家认为，圓弧齒輪減速器的箱体可以和漸开綫齒輪通用。这一結論，对于圓弧齒輪的生产和进一步推广都带来了很大的方便。

关于制訂圓弧齒輪傳动公差标准問題，在生产中已反映出有迫切的需求，建議有关单位协助工厂在积累各项測量数据的基础上，着手制定試用的工厂标准。

平行軸點嚙合圓柱齒輪傳動的嚙合原理

浙江大学 叶显櫟

內容提要

本文利用研究平面嚙合的一般方法，对平行軸點嚙合（諾維柯夫嚙合）圓柱齒輪傳動的空間嚙合理論，作了較為深入的分析和探討，并作出結論：分別通過主動輪和從動輪上的接觸線所作的兩個螺旋曲面，只要滿足下述三個條件，就可以作為共軛齒面。

- 一、兩個端面齒廓當處在嚙合位置時必須彼此相切而不應相交；
- 二、兩個端面齒廓當處在嚙合位置時必須符合嚙合基本定律；
- 三、兩個端面齒廓當處在嚙合位置時必須分別在其包絡的兩側而不能同在一側。

這裡所謂[兩個端面齒廓]是指兩個螺旋曲面與任一垂直於齒輪軸線的平面之間的交線。

本文論述主要以點嚙合的一般情況為依據，但為了探討提高點嚙合齒輪傳動承載能力的途徑，在結語時也針對線嚙合的特殊情況（點嚙合的極限情況）進行了討論。

本文將奧利佛-高赫曼關於構成共軌齒面的理論和歐拉-沙伐爾關於齒廓曲率與瞬心線曲率的關係方程式在點嚙合齒輪傳動中加以推廣應用。

(一) 引言

為了在平行軸間得到傳動比不變的齒輪傳動，工程上通常應用直齒、斜齒或人字齒圓柱齒輪。對於直齒圓柱齒輪傳動來說，為了滿足運動學和動力學的要求，齒輪付的端面齒廓無疑地必須符合奧利佛-高赫曼的互為包絡關係的理論，齒廓曲率半徑與齒輪節圓半徑之間的關係必須滿足歐拉-沙伐爾方程式。但對於斜齒及人字齒的圓柱齒輪傳動來說（這種齒輪的齒面是螺旋曲面），情況並不如此。然而這個事實早先並沒有引起人們的注意，相反地，許多人的思想長期地受到奧利佛-高赫曼理論和歐拉-沙伐爾方程式的束縛，因此，使關於提高齒輪承載能力和相應的新嚙合理論的研究工作一直沒有取得顯著的成效。

諾維柯夫首先注意到：對於斜齒和人字齒圓柱齒輪傳動，其端面齒廓不一定具有互為包絡的關係，或者說，它們不一定滿足歐拉-沙伐爾方程式，而仍能得到傳動比不變的傳動。受到上述現象的啟發，於是諾維柯夫創立了大功率傳動用的點嚙合新理論，並根據這個新的嚙合理論大膽地建議採用按舊的嚙合理論看來是不可能採用的圓弧齒廓。無數實踐證明這種新型齒輪傳動的承載能力比漸開線齒輪傳動的高好幾倍，嚙合損耗也大大降低了。諾維柯夫的這一發明創造已經在全世界引起普遍的重視，我國自1959年廣泛開展學習和試製以後，在齒輪製造業中掀起了一場規模巨大的技術革命，其經濟效果實難以估量。然而諾維柯夫齒輪（在我國也稱為圓弧齒輪）從發明到現在不過幾年時間，對它的研究工作還進行得很不夠，其潛在能力顯然還沒有完全被發掘出來，因此，繼續對它進行理論研究和實際試驗是完全必要的。

(二) 嚙合理論概述

現在以諾維柯夫提出的構成共軌齒面的新方法為基礎，在一定程度上引用舊的嚙合理

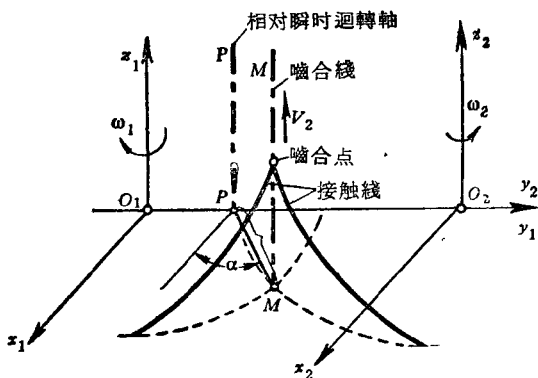


图 1

論，并按照作者本人的見解，將平行軸點嚙合圓柱齒輪傳動共軛齒面的設計方法及其理論根據介紹如下：

為了使所設計的齒面能够尽量滿足預定的要求，我們可以遵循諾維柯夫的建議，首先从工程上的实用觀點出发來給定嚙合點在齒輪軸所決定的固定空間的運動規律。為了使傳動获得良好的工藝特性和動力學特性，換句話說，使齒輪易于切削加工、保証齒面有足够的接觸強度和防止

過度磨損等等，通常我們使嚙合點在固定空間中沿平行于相對迴轉瞬時軸 PP 的直線 MM' 以等線速度 V_2 移動（見圖 1），同時，嚙合線 MM' （即嚙合點在固定空間中的軌跡）與相對迴轉瞬時軸 PP 之間的相對位置必須選擇得當。

在這種情況下，嚙合點在齒輪 1 和齒輪 2 上的軌跡（即接觸線）是兩條方向相反的（亦即一條是右旋的，另一條是左旋的）螺旋線（見圖 1）。如果齒輪 1 和齒輪 2 的角速度各為 ω_1 和 ω_2 ，則其螺旋參數分別為

$$p_1 = \frac{V_2}{\omega_1} \quad \text{和} \quad p_2 = \frac{V_2}{\omega_2},$$

則傳動比 $i = \frac{\omega_1}{\omega_2} = \frac{p_2}{p_1}$ 。

因此，對於這種空間點嚙合制的齒輪傳動來說，為獲得所需的傳動比，必須使其接觸線的螺旋參數與角速度成反比。

齒面必須包含接觸線，因此，從工程上的实用觀點來看，在這種情況下，齒面只能是螺旋曲面。這就是說，所論的圓柱齒輪傳動必須具有斜齒或人字齒。

現在我們來研究：通過這些螺旋線所作的螺旋曲面要符合哪些條件才能作為共軛齒面，換句話說，這些螺旋齒面必須符合哪些條件才有可能按預期的傳動比工作，並能保証嚙合線處在原定的位置上。

對平行軸螺旋齒圓柱齒輪傳動來說，兩共軛齒面在軸向並沒有相對運動，同時，它們在不同端面上（即與軸線垂直的截面上）的情況又是完全相同的，只是角向位置有差異和嚙合時間有先後而已。因此，在這種特殊情況下，空間嚙合理論的研究工作可以大大簡化：在保証齒面螺旋參數符合傳動比要求的前提下，基本上只要應用平面嚙合中的一般方法來對某一对端面齒廓（即共軛齒面與某一垂直於軸線的平面之間的交線）進行研究就可以解決問題。

對平行軸點嚙合圓柱齒輪傳動來說，在某一端面上，嚙合點的軌跡退化為一點（這與一切線嚙合制齒輪傳動有本質上的區別），這一點就是嚙合線與該端面的交點（即圖 2 中的 M 点）。端面齒廓只有經過這一點時才相互接觸，因此，主動齒廓對從動齒廓的推壓動作也只有在該瞬間才發生，而連續傳動的任務是依靠在不同端面上的無數對齒廓相互配合依次工作來完成的。由此可見，每一对端面齒廓都必須負擔傳動任務，因此當它們处在嚙合位置時就必須符合嚙合基本定律，這就是說，它們在嚙合點的公法線必須通過節點（即

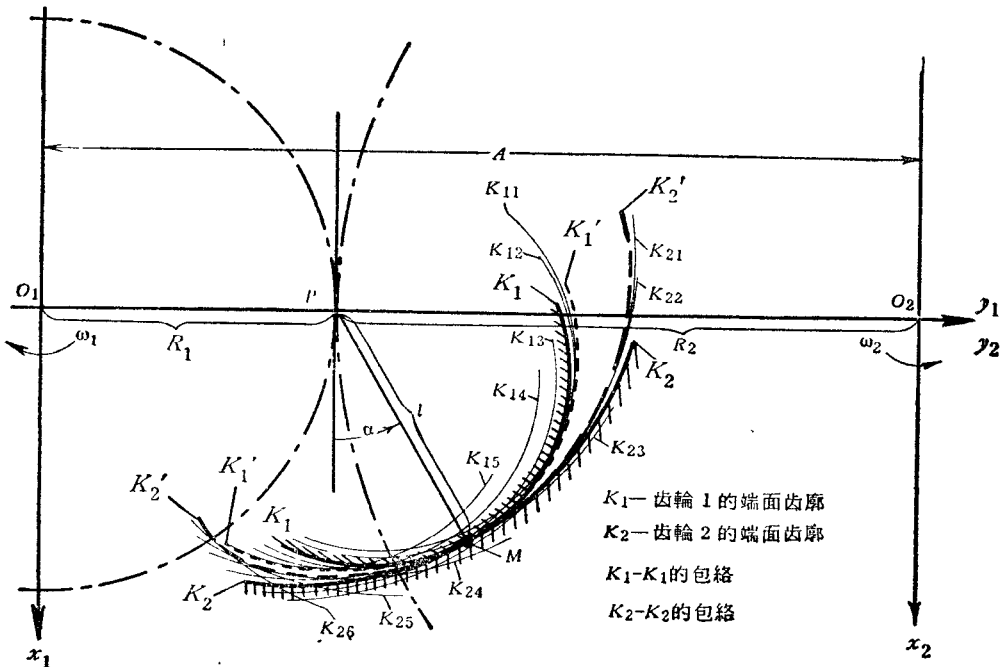


图 2

相对迴轉瞬时軸与齿廓所在端面的交点）。但是，在另一方面，我們又必須注意到，任一对端面齿廓的傳动任务都是瞬时完成的，因此它們彼此之間并不要求具有互为包絡的关系（这与一切綫啮合制圓柱齒輪傳动有本质上的区别）。在这里應該指出：虽然一对齒當它們的理論曲綫相交时（即两个輪齒棱邊接觸或者一个輪齒棱邊与另一个輪齒齒面接觸），也可以傳递运动，但为了保証必要的齒面接觸强度，我們應該要求：端面工作齒廓必須是光滑的曲綫，当它們处在啮合位置时必須彼此相切而不应相交。

下面我們研究共軛齒面在工作过程中不发生干涉的条件。上面已經提到，就平行軸傳動而論，由于两共軛齒面并沒有沿軸向的相对运动，则分別在不同端面上的局部齒面之間，就不存在彼此干涉的問題。因此，在这种情况下，只要研究某一端面上的一对齒廓的干涉現象就够了。虽然乍然看來，为判定是否发生干涉需要分析两种情况：

- (1) 在某一瞬間，在所有端面上的两个齒廓的相对位置；
- (2) 在某一端面上，两个齒廓在工作过程中一系列的相对位置。

但是，由于所論齒輪的齒面是螺旋曲面，研究第二种情况也就包含了对第一种情况的研究。而第二种情况又可轉化为任一端面齒廓与另一个端面齒廓底包絡之間的相对位置关系（例如图 2 中， K_2 与 K'_1 的关系，或者 K_1 与 K'_2 的关系）。这样，防止齒面发生干涉的条件就可以归結为：两个端面齒廓当处在啮合位置时，必須分別在其包絡的两侧而不能同在一側。

这里 [包絡] 的含义是：假定齒輪付中的某一个齒輪不动，使另一个齒輪对它作相对运动，由动齒輪上的齒廓所产生的轨迹（参考图 2 及图 3）。

在这里必須指出，在求包絡时必須注意到被包絡的界限（即觀察是否发生干涉时只需考慮端面齒廓的工作部分而不必考慮整个理論齒廓曲綫）。

綜上所述，通过接触線所作的两个螺旋曲面，只要滿足三个条件，就可以作为共軛齒面并能保証嚙合線处在已經取定的位置。这些条件是：

一、两个端面齒廓必須是光滑的曲線，当它們处在嚙合位置时必須彼此相切而不應相交；

二、两个端面齒廓当处在嚙合位置时，其在嚙合点的公法線必須通過节点；

三、两个端面齒廓当处在嚙合位置时，必須在其包絡的兩側而不能同在一側。

第一个条件是为了保証必要的齒面接触强度；第二个条件再加上齒面螺旋参数与角速度成反比的条件是为了获得給定的傳动比；第三个条件是为了防止干涉。

这里必須指出，当第三个条件得到滿足时，第一个和第二个条件必然会得到滿足，換句話說，前面两个条件已經被包含在最后一个条件之中。虽然如此，但作者从齒廓設計的实用觀点出发认为仍有必要把它們相提并論。关于这一点將会在下一节中得到論証和說明。

(三) 有关分析理論的探討

茲将上述条件的理論根据和齒廓設計方法用分析法进一步探討如下：

将两个直角座标系 $O_1x_1y_1z_1$ 和 $O_2x_2y_2z_2$ 分別固定在齒輪 1 和齒輪 2 上，并使 z_1 軸和 z_2 軸重合于齒輪軸。設傳動开始工作的瞬間，在 $z_1 = z_2 = 0$ 的端面上两个齒廓 K_1 与 K_2 处在嚙合位置且 y_1 軸和 y_2 軸在該瞬間的位置重合（如图 2 所示）。現在我們就研究这个端面上的情况。

若已知傳动比 $i = \frac{\omega_1}{\omega_2}$ 和中心距 A ，則節圓半徑 R_1 和 R_2 可用下列公式求出：

$$\left. \begin{array}{l} R_1 = \frac{A}{i+1} \\ R_2 = \frac{iA}{i+1} \end{array} \right\} \quad (1)$$

因而节点 P 的位置可以决定。

当移距 l 和端面嚙合角 α 选定后，嚙合点 M 的位置可以确定。过 M 点分別作齒輪 1 和齒輪 2 的端面齒廓 K_1 和 K_2 。如前所述，为保証必要的齒面接触强度， K_1 和 K_2 應該是光滑的曲線并应在嚙合点 M 相切。为了获得給定的傳动比， K_1 和 K_2 應該在嚙合点和 PM 正交（这里 PM 是节点和嚙合点之間的联綫）。

K_1 和 K_2 的相对位置应根据这样的原則来取：使它們分別靠近各自的輪心。如果嚙合点的位置如图 2 所示，則 K_1 应在 K_2 之上。

按上述条件作出的齒廓帶有很大程度的試探性，为了判断其是否可以作为共軛齒面，必須檢驗它們在工作过程中是否会发生干涉。

为此我們必須求出其中一个齒廓的包絡（最好对凸齒齒廓求包絡）。

为了有利于計算，我們在所論的端面上取两个极座标系 ρ_1, θ_1 和 ρ_2, θ_2 分別固定在齒輪 1 和齒輪 2 上。設傳動开始工作的瞬間，两个极点都与节点重合，两个极軸彼此重合并与 x_1 及 x_2 軸的方向一致。

設齒輪 1 的端面齒廓 K_1 关于极座标系 ρ_1, θ_1 的方程式为

$$\rho_1 = \rho_1(\theta_1) \quad (2)$$

設齒輪 2 的端面齒廓 K_2 關於極座標系 ρ_2, θ_2 的方程式為

$$\rho_2 = \rho_2(\theta_2) \quad (3)$$

從圖 3 可以看出， K_1 關於直角座標系 $x_1O_1y_1$ 的方程式為

$$\left. \begin{array}{l} x_1 = \rho_1 \cos \theta_1 \\ y_1 = \rho_1 \sin \theta_1 + R_1 \end{array} \right\} \quad (4)$$

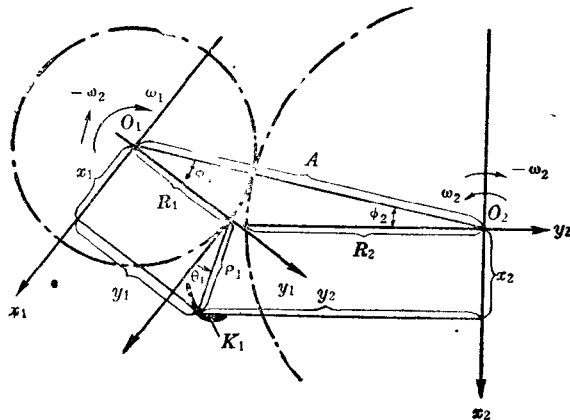


图 3

為了求 K_1 的包絡 K'_1 ，我們使齒輪 2 不動而使齒輪 1 對於齒輪 2 作相對運動，則經過時間 t 之後，兩個齒輪的相對位置如圖 3 所示。圖中 ϕ_1 及 ϕ_2 均為角位移，其值為

$$\phi_1 = \omega_1 t; \quad \phi_2 = \omega_2 t.$$

利用圖 3 可以求出 K_1 關於直角座標系 $x_2O_2y_2$ 的方程式：

$$\left. \begin{array}{l} x_2 = x_1 \cos(\phi_1 + \phi_2) + y_1 \sin(\phi_1 + \phi_2) - A \sin \phi_2 \\ y_2 = -x_1 \sin(\phi_1 + \phi_2) + y_1 \cos(\phi_1 + \phi_2) - A \cos \phi_2 \end{array} \right\}$$

代以 $\phi_1 = i\phi_2$ 及 (4) 式，並經過轉化得

$$\left. \begin{array}{l} x_2 = \rho_1 \cos[(i+1)\phi_2 - \theta_1] + R_1 \sin[(i+1)\phi_2] - A \sin \phi_2 \\ y_2 = -\rho_1 \sin[(i+1)\phi_2 - \theta_1] + R_1 \cos[(i+1)\phi_2] - A \cos \phi_2 \end{array} \right\} \quad (5)$$

方程式 (5) 對於 ϕ_2 的每一個固定值表示一平面曲線，而且這條平面曲線在座標系 $x_2O_2y_2$ 內处在某一個固定的位置，當 ϕ_2 取不同的值時，即得到無限多的曲線（例如圖 2 中的 K_1 、 K_{11} 、 K_{12} 等等），其全體組成曲線族。

下面我們來求曲線族 (5) 的包絡 K'_1 的方程式：

由於包絡上的每一點总有族中某一曲線與其相切，因此有下列等式：

$$\frac{\frac{\partial Y_2}{\partial \theta_1}}{\frac{\partial X_2}{\partial \theta_1}} = \frac{\frac{dY_2}{d\phi_2}}{\frac{dX_2}{d\phi_2}}$$

上式左端表示族中曲線在特徵點（即族中曲線與包絡的切點）的斜率，右端表示包絡的斜率。這裡必須注意：在求族中某一曲線的斜率時，應把 (5) 式中的 θ_1 當作獨立參變量而把 ϕ_2 看作是某一個固定的值；在求包絡的斜率時，應把 ϕ_2 當作獨立參變量而把 θ_1 看作是 ϕ_2 的函數。因此，上式也可以寫成

$$\frac{\frac{\partial Y_2}{\partial \theta_1}}{\frac{\partial X_2}{\partial \theta_1}} = \frac{\frac{\partial Y_2}{\partial \theta_1} \cdot \frac{d\theta_1}{d\phi_2} + \frac{\partial Y_2}{\partial \phi_2}}{\frac{\partial X_2}{\partial \theta_1} \cdot \frac{d\theta_1}{d\phi_2} + \frac{\partial X_2}{\partial \phi_2}}$$

简化之得

$$\frac{\partial Y_2}{\partial \theta_1} \cdot \frac{\partial X_2}{\partial \phi_2} = \frac{\partial Y_2}{\partial \phi_2} \cdot \frac{\partial X_2}{\partial \theta_1}$$

代以(5)式的偏导数，并考虑到(1)式中 R_1 与 A 的关系，得到

$$R_1 \rho_1 [\cos \theta_1 - \cos(i\phi_2 - \theta_1)] + \rho_1 \rho'_1 + R_1 \rho'_1 [\sin \theta_1 + \sin(i\phi_2 - \theta_1)] = 0 \quad (6)$$

式中 $\rho'_1 = \frac{d\rho_1}{d\theta_1}$ 。

联立方程(5)和(6)即为包络 K'_1 的方程式。

在前面我們曾經預設，当傳动开始工作的瞬间（即 $t=0$ ，因而 $\phi_1=\omega_1 t=0$ 及 $\phi_2=\omega_2 t=0$ ），在所論端面上的两个齿廓处在啮合位置，因此，相当于 $\phi_2=0$ 的族中曲綫（即图2中的 K_1 ）的特征点應該就在 K_1 的接触点（ $\rho_1=l$ 、 $\theta_1=\alpha$ ）。这就是說，为了使 K'_1 通过啮合点（这是防止干涉的必要条件），則 $\phi_2=0$ 、 $\theta_1=\alpha$ 及 $\rho_1=l$ 必須滿足(6)式，由此得到

$$\rho'_1 = 0 \quad (7)$$

因当 $\phi_1=0$ 及 $\phi_2=0$ 时极点与节点重合，故(7)式的物理意义就是端面齿廓 K_1 当处在啮合位置时，其在接触点 M_1 的法綫必須通过节点 P 。同理，

$$\rho'_2 = 0 \quad (8)$$

这里 $\rho'_2 = \frac{d\rho_2}{d\theta_2}$ ，意即端面齿廓 K_2 当处在啮合位置时，其在接触点的法綫也必須通过节点 P 。

这就是說， K_1 与 K_2 在啮合点必須相切，且其公法綫必須通过节点（此即啮合基本定律）。

由此可見，如果齿廓不干涉的条件得到了滿足，则齿廓在啮合点相切及其公法綫通过节点的两个条件必然会得到滿足。但考慮到后两条件对齿廓設計很有帮助，故作者认为仍有必要把它們同时列出。

为了进一步研究两个端面齿廓 K_1 与 K_2 在啮合点的微分邻域內不发生干涉的条件，我們必須求出 K_1 与 K_2 分别在其接触点的曲率半徑 r_1 和 r_2 的关系式。

如果曲率半徑的符号根据这样的原則来取：即对于 K_1 ，当其向靠近节点的方向弯曲时（如图4所示），其曲率半徑取正值，反之取負值；对于 K'_1 ，当其向远离节点的方向弯曲时（如图4所示），其曲率半徑取正值，反之取負值，則从微分学知道：

K_1 上任意点的曲率半徑 ρ_{K_1} 可用下式来求

$$\rho_{K_1} = \frac{(\rho_1^2 + \rho'_1)^2}{\rho_1^2 + 2\rho_1^2 - \rho_1\rho'_1} \quad (9)$$

这里 $\rho''_1 = \frac{d^2\rho_1}{d\theta_1^2}$ 。

在上式中令 $\theta_1=\alpha$ 、 $\rho_1=l$ 及 $\rho'_1=0$ ，則得到 K_1 在其接触点的曲率半徑：

$$r_1 = \frac{l^2}{l - \rho_1} \quad (10)$$

包絡 K'_1 上任意點的曲率半徑 $\rho_{K'_1}$ 可用下式來求：

$$\rho_{K'_1} = \frac{\left[\left(\frac{dx_2}{d\theta_1} \right)^2 + \left(\frac{dy_2}{d\theta_1} \right)^2 \right]^{\frac{3}{2}}}{\frac{dx_2}{d\theta_1} \cdot \frac{d^2y_2}{d\theta_1^2} - \frac{dy_2}{d\theta_1} \cdot \frac{d^2x_2}{d\theta_1^2}} \quad (11)$$

對 (5) 式微分可以得到 $\frac{dx_2}{d\theta_1}$ 、 $\frac{dy_2}{d\theta_1}$ 、 $\frac{d^2x_2}{d\theta_1^2}$ 、 $\frac{d^2y_2}{d\theta_1^2}$ 的數值，把它們代入 (11) 式，並注意到在嚙合點 $\phi_2 = 0$ 、 $\theta_1 = \alpha$ 、 $\rho_1 = l$ 及 $\rho'_1 = 0$ ，則得到 K'_1 在嚙合點的曲率半徑：

$$r'_1 = - \frac{l^2 \left[(i+1) \frac{d\phi_2}{d\theta_1} - 1 \right]^2}{l \left[(i+1) \frac{d\phi_2}{d\theta_1} - 1 \right]^2 + iA \sin \alpha \left(\frac{d\phi_2}{d\theta_1} \right)^2 - \rho''_1} \quad (12)$$

對 (6) 式微分，並令 $\phi_2 = 0$ 、 $\theta_1 = \alpha$ 、 $\rho_1 = l$ 及 $\rho'_1 = 0$ ，得：

$$\frac{d\phi_2}{d\theta_1} = \frac{\rho''_1}{iR_1 \sin \alpha}$$

將此式代入 (12) 式並令 $A = (i+1)R_1$ ，則：

$$r'_1 = - \frac{l^2 \left[(i+1) \rho''_1 - iR_1 \sin \alpha \right]}{l \left[(i+1) \rho''_1 - iR_1 \sin \alpha \right] + iR_1 \sin \alpha \rho''_1} \quad (13)$$

在 (10)、(13) 兩式中消去 ρ''_1 ，得：

$$r'_1 = -l + \frac{1}{\frac{i+1}{iR_1 \sin \alpha} - \frac{1}{r_1 - l}} \quad (14)$$

或 $\frac{1}{R_1} + \frac{1}{R_2} = \left(\frac{1}{r_1 - l} + \frac{1}{r'_1 + l} \right) \sin \alpha \quad (14a)$

此即歐拉-沙伐爾方程式，它的幾何意義可以利用圖 4 予以說明：

設 B_1 為齒廓 K_1 在嚙合點 M 的曲率中心， B'_1 為 K'_1 在嚙合點 M 的曲率中心， PD 為通過節點 P 並垂直于公法線 nn' 的直線。則歐拉-沙伐爾方程式的幾何意義就是：兩條聯心線 O_1B_1 與 $O_2B'_1$ 的交點 D 必在 PD 直線上。

設 D_1 為 O_1M 與 PD 的交點，則當聯心線交點在 D_1 的位置時， $r_1 = 0$ ；設 D_2

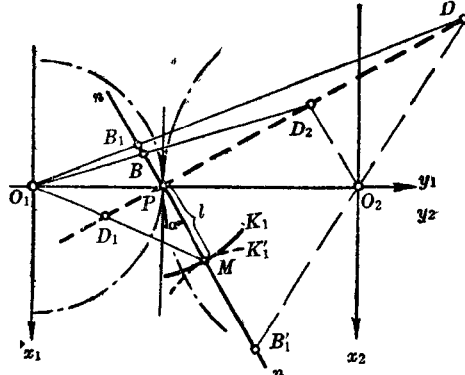


圖 4

為通過 O_2 而平行于 nn' 的直線與 PD 的交點，則當聯心線交點在 D_2 的位置時， $r'_1 = \infty$ 。為了增強齒輪的誘導曲率半徑以提高齒面的接觸強度，應把一個齒輪的輪齒做成凸的，另一個齒輪的輪齒做成凹的。為了達到這個目的，必須把聯心線交點限制在 D_1 與 D_2 之間，換句話說，必須把齒廓 K_1 在嚙合點的曲率中心的位置限制在 M 與 B 之間（這裡 B 是 O_1D_2 與 nn' 的交點），因為只有在這種情況下 K_1 和 K'_1 的彎曲方向相同（都偏向節點）而且在嚙合點的微分鄰域內 K_1 位於 K'_1 之上，這樣才有可能把齒輪 1 的齒做成凸的，把齒輪 2 的齒做成凹的。

在上述情況下，為使兩個齒廓在接觸點的微分鄰域內彼此不發生干涉，下列關係式應得到滿足：